

# Comparación Elementos

N: numero de grados de libertad

El CST da tensión nula ya que cada elemento debe tener una única deformación! Entonces existe un empate.

CST (N24)

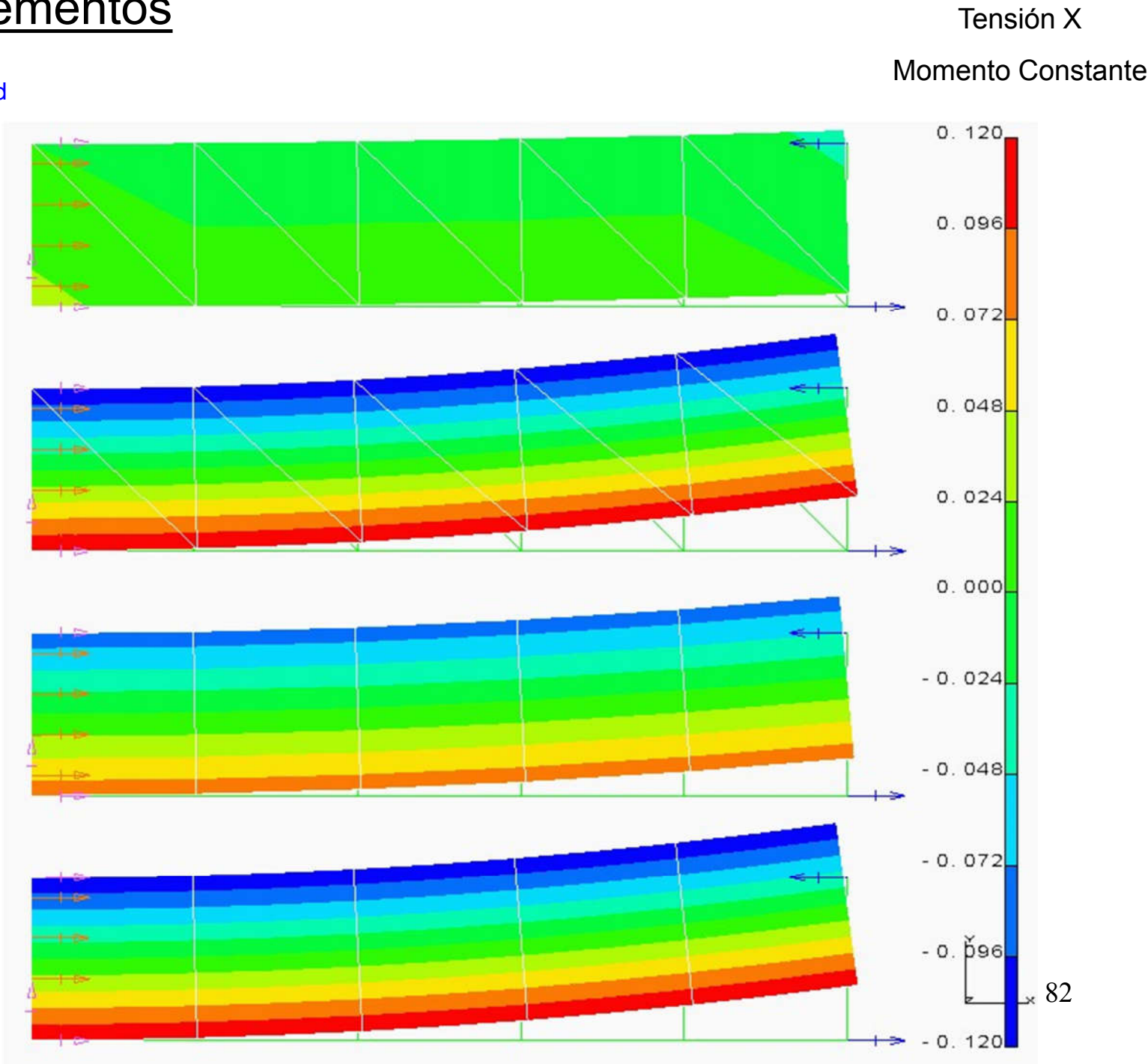


LST (N66)

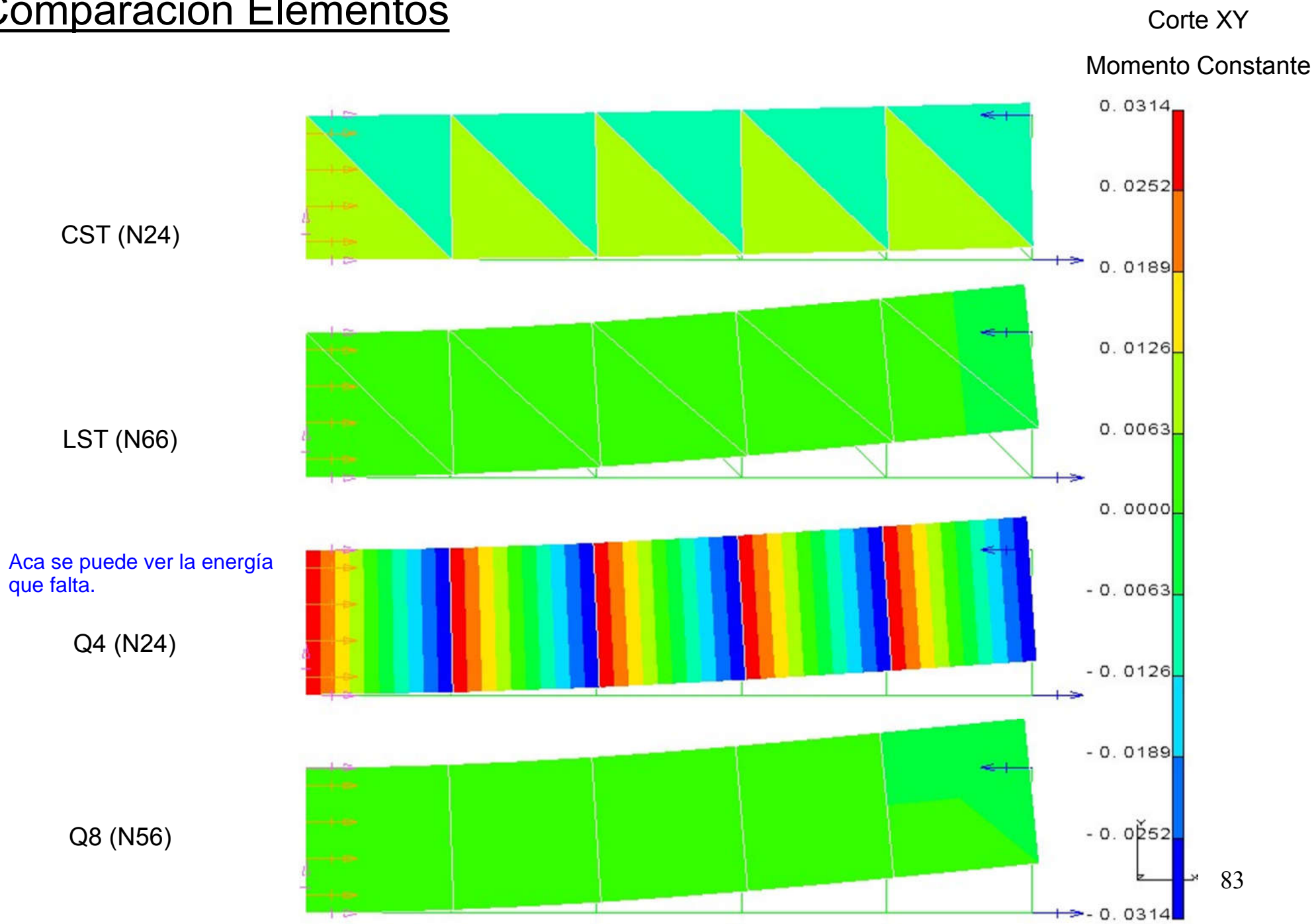
La viga no debería tener corte pero el elemento lleva parte de la energía a corte. No se curva lo que deberá

Q4 (N24)

Q8 (N56)

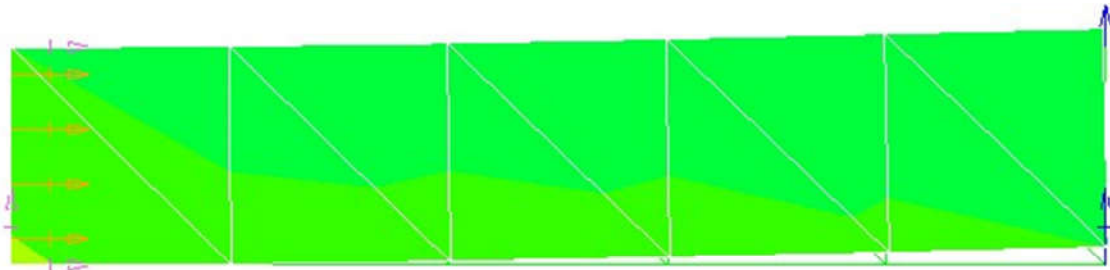


# Comparación Elementos

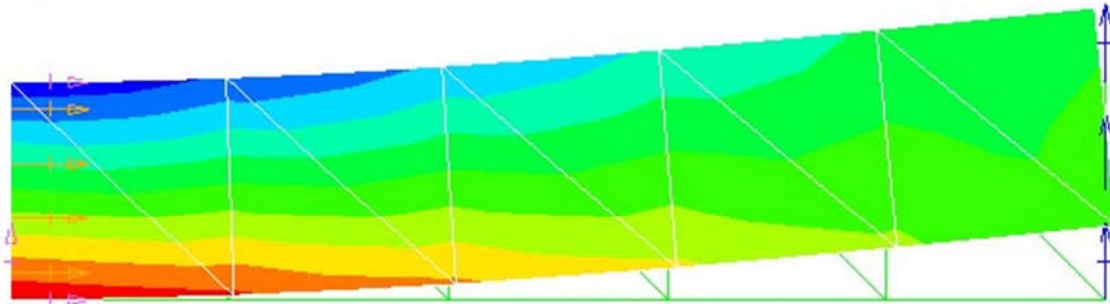


# Comparación Elementos

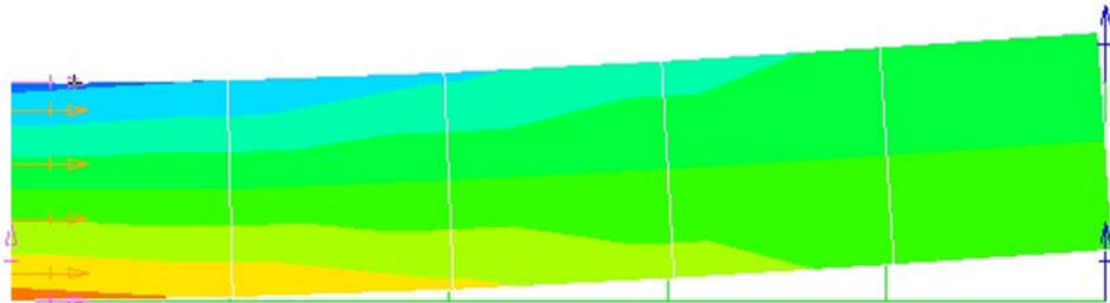
CST (N24 / E=76.71%)



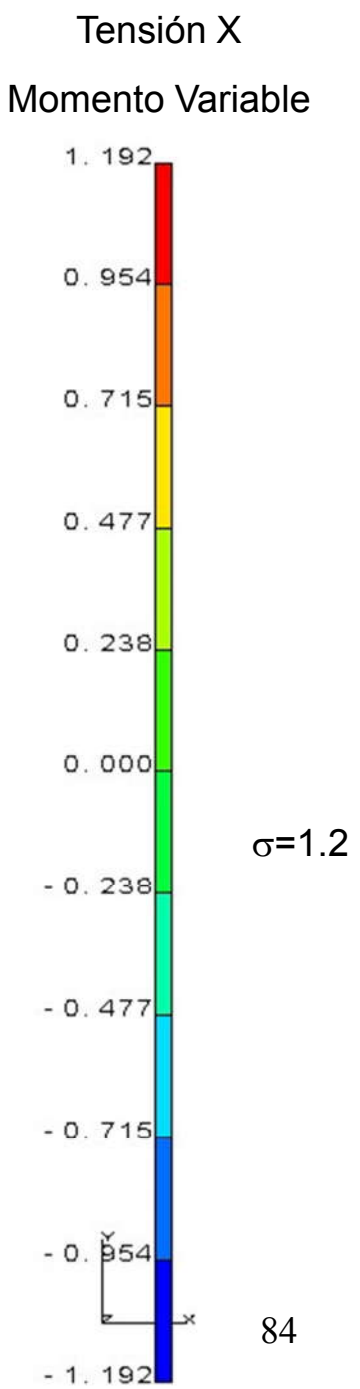
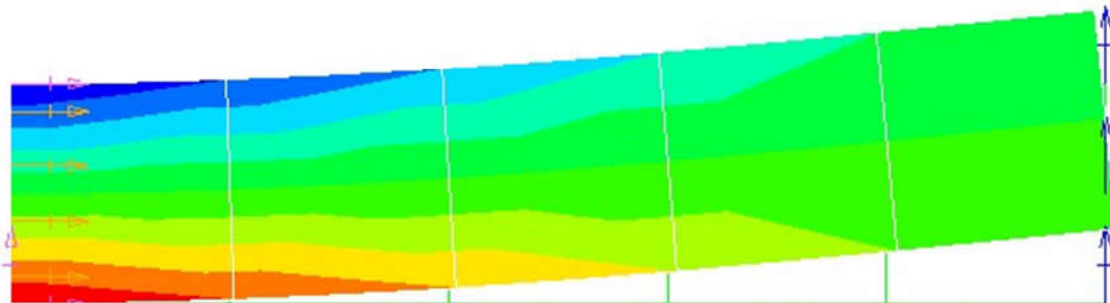
LST (N66 / E=3.57% )



Q4 (N24 / E=32.70%)

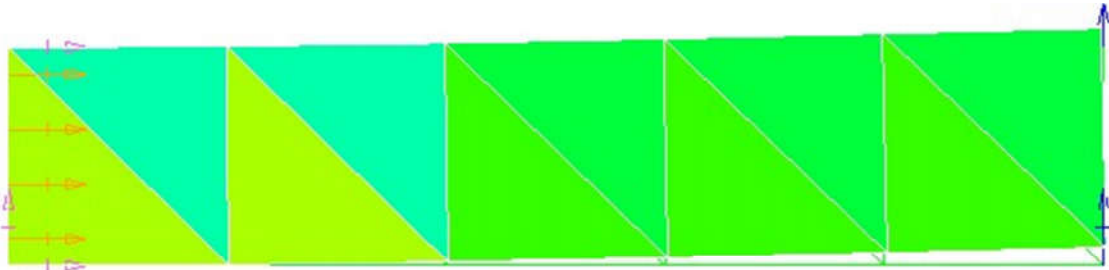


Q8 (N56 / E=0.65%)

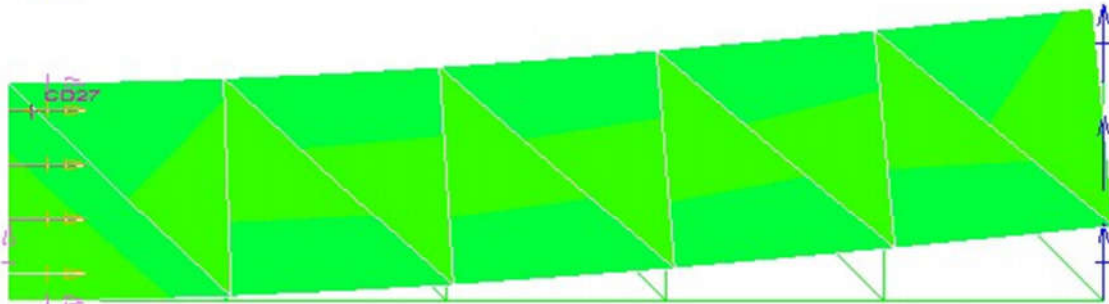


# Comparación Elementos

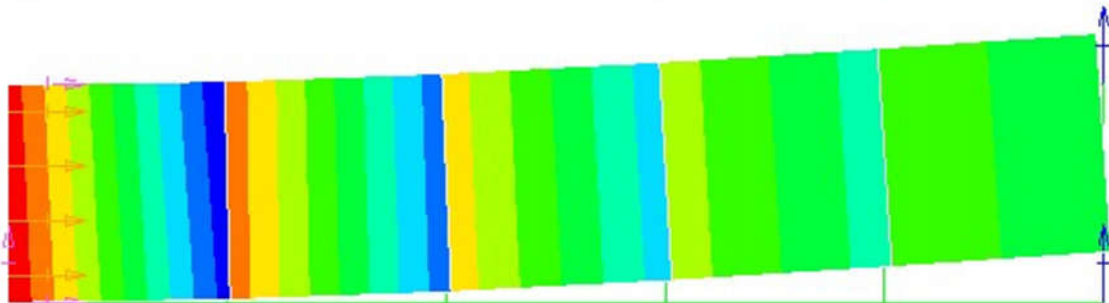
CST (N24)



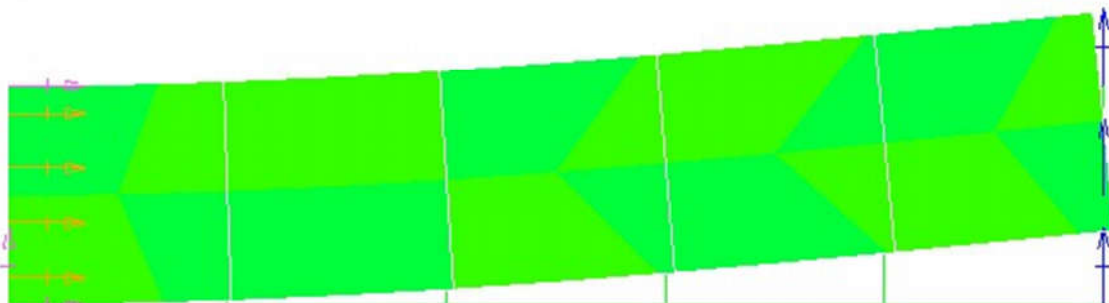
LST (N66)



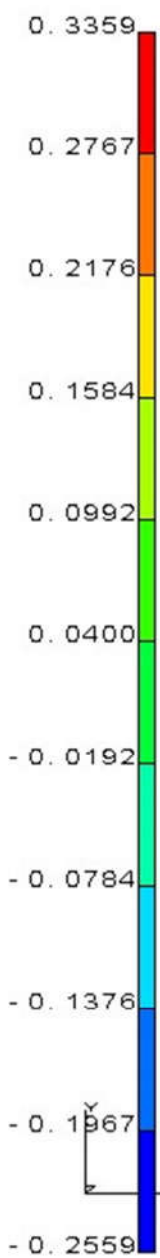
Q4 (N24)



Q8 (N56)

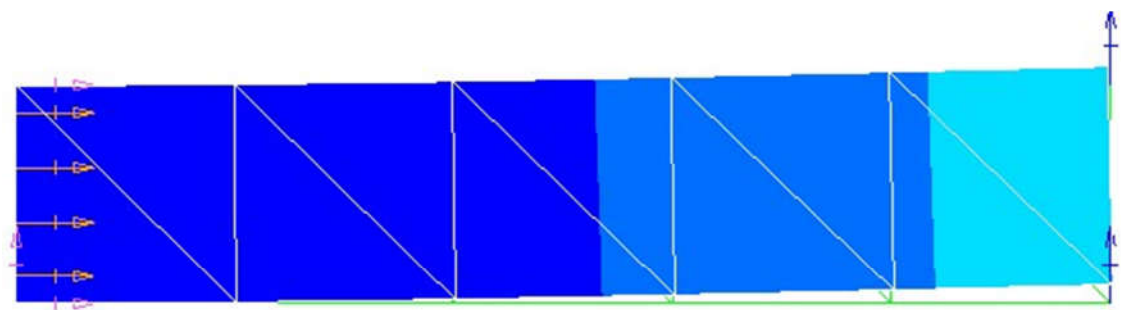


Corte XY  
Momento Variable

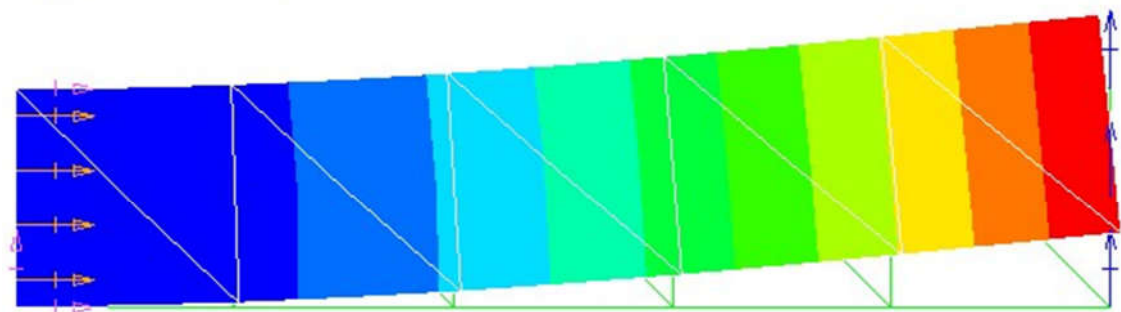


# Comparación Elementos

CST (N24 / E=73.88%)



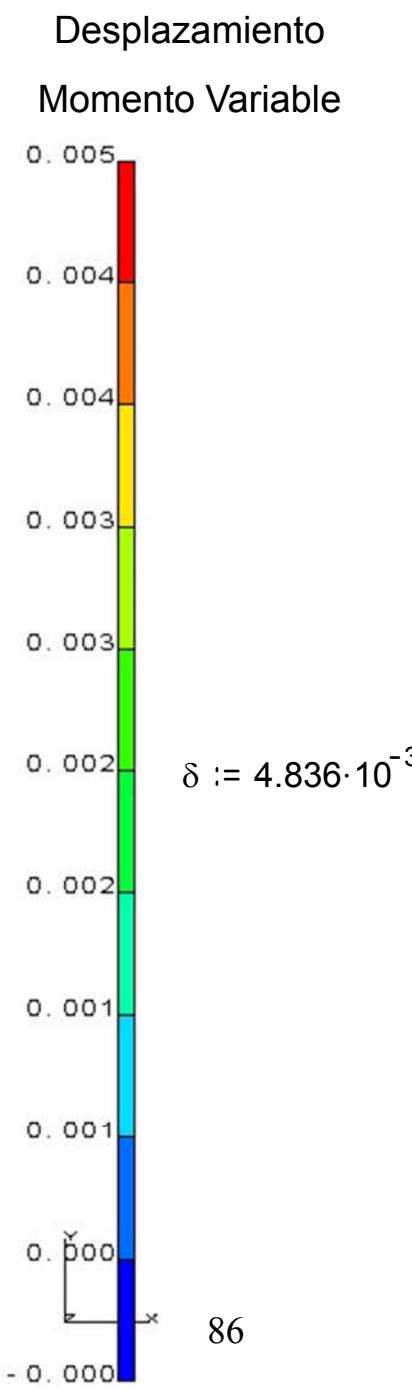
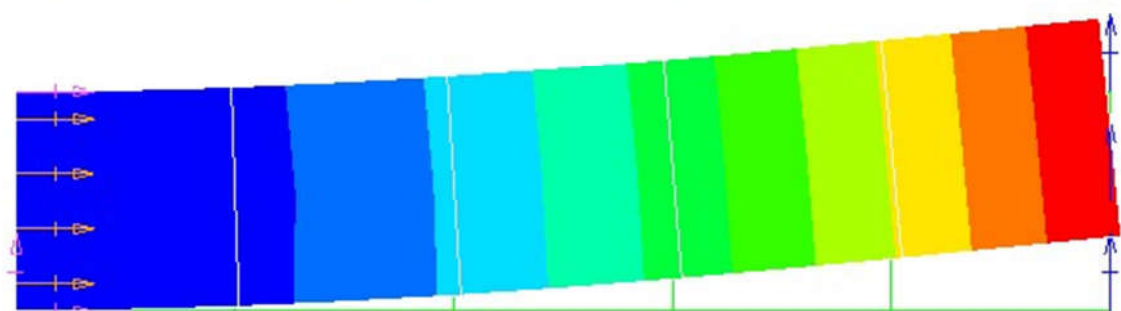
LST (N66 / E=-1.86%)



Q4 (N24 / E=24.01%)



Q8 (N56 / E=-2.22%)



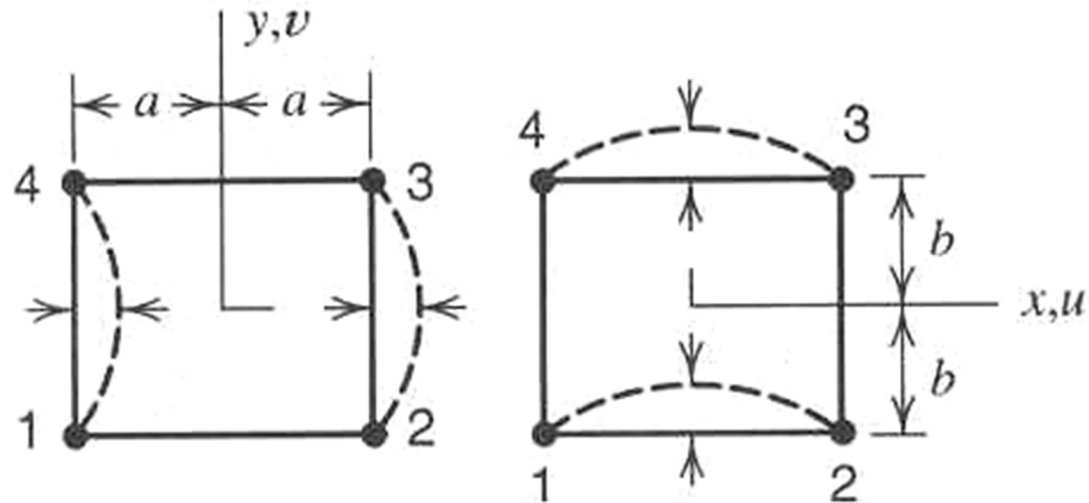


# Elementos Rectangulares

## Deformación Constante – Incompatible Q6

Seda y nu son "grados de libertad jerárquicos" ya que no se encuentran sobre un nodo.

$$\xi = \frac{x}{a}; \quad \eta = \frac{y}{b}$$



$$u = a_1 + a_2x + a_3y + a_4xy + d_1(1 - \xi^2) + d_2(1 - \eta^2) = N_1u_1 + \dots + N_4u_4 + d_1(1 - \xi^2) + d_2(1 - \eta^2)$$

$$v = a_5 + a_6x + a_7y + a_8xy + d_3(1 - \xi^2) + d_4(1 - \eta^2) = N_1v_1 + \dots + N_4v_4 + d_3(1 - \xi^2) + d_4(1 - \eta^2)$$

## Condensación

$$\begin{bmatrix} \begin{bmatrix} K_{nn} \\ \text{Viejos} \end{bmatrix} \\ \begin{bmatrix} K_{in} \\ \text{Nuevos con viejos} \end{bmatrix} \end{bmatrix} \begin{bmatrix} \begin{bmatrix} K_{ni} \\ \text{Viejos con nuevos} \end{bmatrix} \\ \begin{bmatrix} K_{ii} \\ \text{Nuevos} \end{bmatrix} \end{bmatrix} \begin{Bmatrix} u_1 \\ \vdots \\ v_4 \\ d_1 \\ \vdots \\ d_4 \end{Bmatrix} = \begin{Bmatrix} F_{x1} \\ \vdots \\ F_{y4} \\ 0 \\ \vdots \\ 0 \end{Bmatrix}$$

$$[K_{nn}] \begin{Bmatrix} u_1 \\ \vdots \\ v_4 \end{Bmatrix} + [K_{ni}] \begin{Bmatrix} d_1 \\ \vdots \\ d_4 \end{Bmatrix} = \begin{Bmatrix} F_{x1} \\ \vdots \\ F_{y4} \end{Bmatrix}$$

$$[K_{in}] \begin{Bmatrix} u_1 \\ \vdots \\ v_4 \end{Bmatrix} + [K_{ii}] \begin{Bmatrix} d_1 \\ \vdots \\ d_4 \end{Bmatrix} = \begin{Bmatrix} 0 \\ \vdots \\ 0 \end{Bmatrix} \rightarrow \begin{Bmatrix} d_1 \\ \vdots \\ d_4 \end{Bmatrix} = -[K_{ii}]^{-1} [K_{in}] \begin{Bmatrix} u_1 \\ \vdots \\ v_4 \end{Bmatrix}$$

Siempre que tengo grados de libertad que no se pueden mover, se puede condensar la matriz de rigidez.

Q6 condensado tiene los mismos grados de libertad que Q4

# Elementos Rectangulares

## Deformación Constante – Incompatible Q6

$$\begin{Bmatrix} d_1 \\ \vdots \\ d_4 \end{Bmatrix} = -[K_{ii}]^{-1}[K_{in}] \begin{Bmatrix} u_1 \\ \vdots \\ v_4 \end{Bmatrix} \rightarrow [K_{nn}] \begin{Bmatrix} u_1 \\ \vdots \\ v_4 \end{Bmatrix} - [K_{ni}][K_{ii}]^{-1}[K_{in}] \begin{Bmatrix} u_1 \\ \vdots \\ v_4 \end{Bmatrix} = \underbrace{\left( [K_{nn}] - [K_{ni}][K_{ii}]^{-1}[K_{in}] \right)}_{[K]} \begin{Bmatrix} u_1 \\ \vdots \\ v_4 \end{Bmatrix} = \begin{Bmatrix} F_{x1} \\ F_{y1} \\ \vdots \\ F_{y4} \end{Bmatrix}$$

## Deformaciones

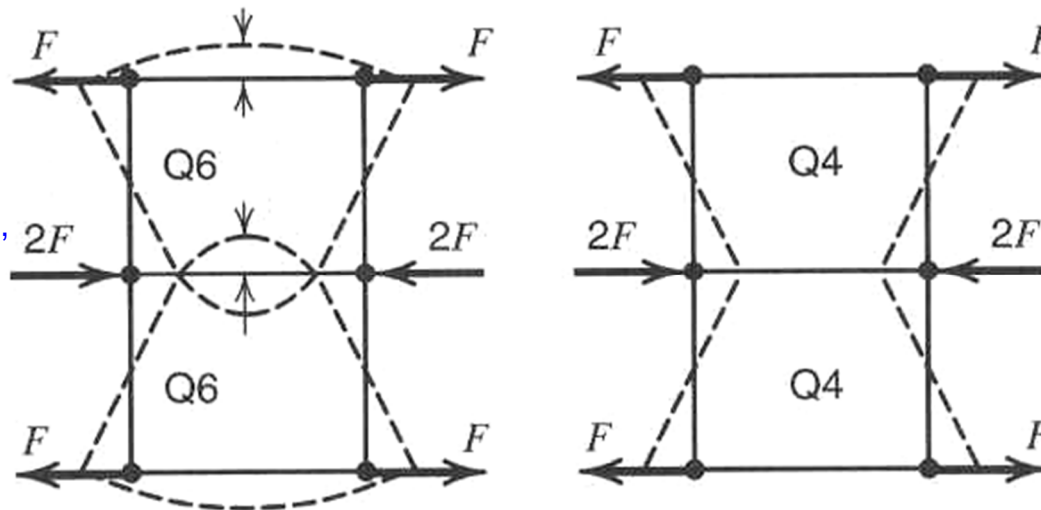
$$\varepsilon_x = \frac{\partial u}{\partial x} = a_2 + a_4 y - \frac{2x}{a^2} d_1 \quad ; \quad \varepsilon_y = \frac{\partial v}{\partial y} = a_7 + a_8 x - \frac{2y}{b^2} d_4$$

$$\gamma_{xy} = \frac{\partial v}{\partial x} + \frac{\partial u}{\partial y} = a_3 + a_6 + a_4 x + a_8 y - \frac{2x}{a^2} d_3 - \frac{2y}{b^2} d_2$$

Estos nuevos coeficientes eliminan los términos del corte espúreo.

## Compatibilidad

Deja de haber compatibilidad en la continuidad de las deformaciones, ahora los elementos, aunque estén unidos en los nodos, se rompen por las líneas.



# Elementos Rectangulares

## Deformación Constante – Incompatible Q6

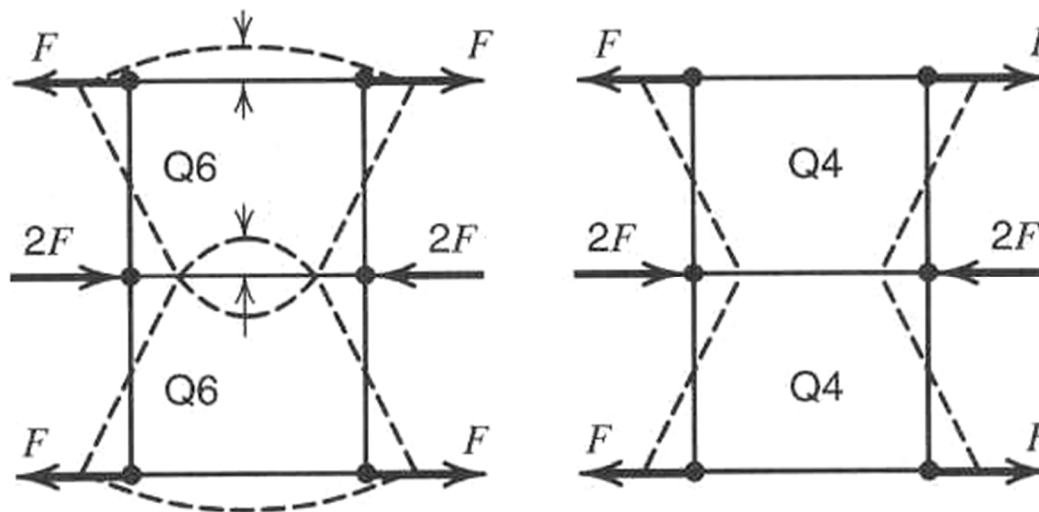
$$\begin{Bmatrix} d_1 \\ \vdots \\ d_4 \end{Bmatrix} = -[K_{ii}]^{-1}[K_{in}] \begin{Bmatrix} u_1 \\ \vdots \\ v_4 \end{Bmatrix} \rightarrow [K_{nn}] \begin{Bmatrix} u_1 \\ \vdots \\ v_4 \end{Bmatrix} - [K_{ni}][K_{ii}]^{-1}[K_{in}] \begin{Bmatrix} u_1 \\ \vdots \\ v_4 \end{Bmatrix} = \left( \underbrace{[K_{nn}] - [K_{ni}][K_{ii}]^{-1}[K_{in}]}_{[K]} \right) \begin{Bmatrix} u_1 \\ \vdots \\ v_4 \end{Bmatrix} = \begin{Bmatrix} F_{x1} \\ F_{y1} \\ \vdots \\ F_{y4} \end{Bmatrix}$$

Deformaciones

$$\varepsilon_x = \frac{\partial u}{\partial x} = a_2 + a_4 y - \frac{2x}{a^2} d_1 \quad ; \quad \varepsilon_y = \frac{\partial v}{\partial y} = a_7 + a_8 x - \frac{2y}{b^2} d_4$$

$$\gamma_{xy} = \frac{\partial v}{\partial x} + \frac{\partial u}{\partial y} = a_3 + a_6 + a_4 x + a_8 y - \frac{2x}{a^2} d_3 - \frac{2y}{b^2} d_2$$

Compatibilidad





# Elementos 3D

## Funciones de Forma

$$u = \sum_i N_i u_i \quad v = \sum_i N_i v_i \quad w = \sum_i N_i w_i$$

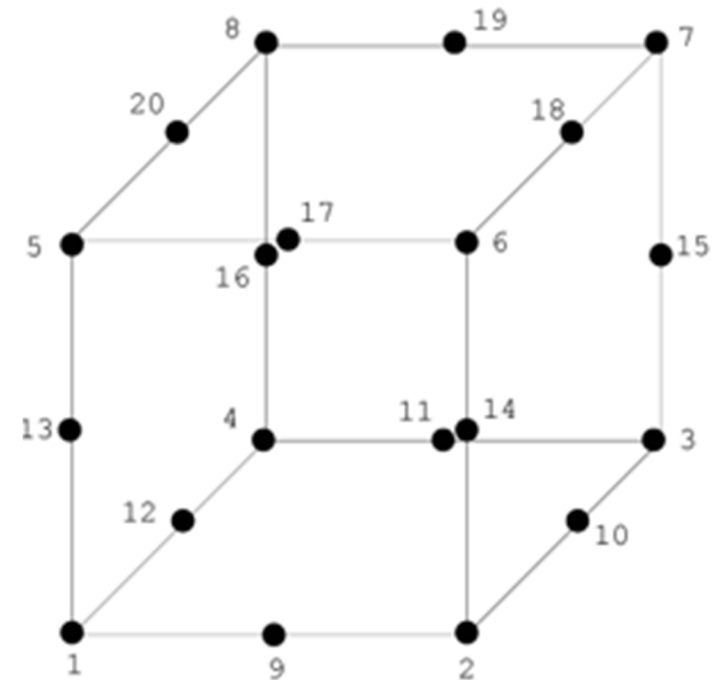
$$\begin{Bmatrix} u \\ v \\ w \end{Bmatrix} = \begin{bmatrix} N_1 & 0 & 0 & \dots & N_n & 0 & 0 \\ 0 & N_1 & 0 & \dots & 0 & N_n & 0 \\ 0 & 0 & N_1 & \dots & 0 & 0 & N_n \end{bmatrix}$$

Sólo hay 1 matriz constitutiva

## Ecuación Constitutiva (Ingeniería)

$$\begin{bmatrix} \sigma_x \\ \sigma_y \\ \sigma_z \\ \tau_{xy} \\ \tau_{yz} \\ \tau_{zx} \end{bmatrix} = \begin{bmatrix} A & B & B & 0 & 0 & 0 \\ B & A & B & 0 & 0 & 0 \\ B & B & A & 0 & 0 & 0 \\ 0 & 0 & 0 & G & 0 & 0 \\ 0 & 0 & 0 & 0 & G & 0 \\ 0 & 0 & 0 & 0 & 0 & G \end{bmatrix} \begin{bmatrix} \varepsilon_x \\ \varepsilon_y \\ \varepsilon_z \\ \gamma_{xy} \\ \gamma_{yz} \\ \gamma_{zx} \end{bmatrix} - \frac{E\alpha\Delta T}{1-2\nu} \begin{bmatrix} 1 \\ 1 \\ 1 \\ 0 \\ 0 \\ 0 \end{bmatrix}$$

$$A = \frac{(1-\nu)E}{(1+\nu)(1-2\nu)} \quad B = \frac{\nu E}{(1+\nu)(1-2\nu)} \quad G = \frac{E}{2(1+\nu)}$$



## Matriz de Rigidez

$$\varepsilon_{6 \times 1} = B_{6 \times 3N} d_{3N \times 1}$$

$$k_{3N \times 3N} = \iiint_{\Omega} B_{3N \times 6}^T E_{6 \times 6} B_{6 \times 3N} dx dy dz$$

# Aplicación de Cargas

## Energéticamente Equivalente

$$W = \{d\}^T \{r_e\} = \int_{\Omega} \{u\}^T \{F\} dV + \int_S \{u\}^T \{\Phi\} dS$$

$$\int_S \{u\}^T \{\Phi\} dS = \{d\}^T \int_S [N]^T \{\Phi\} dS \Rightarrow$$

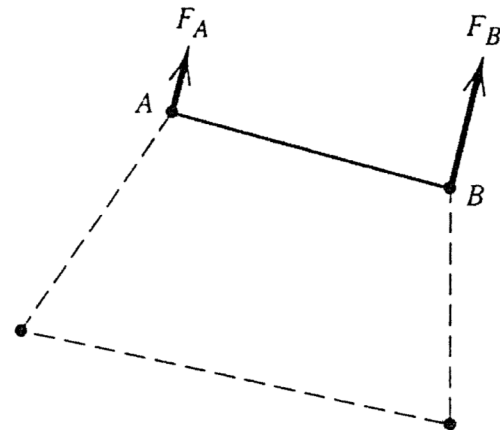
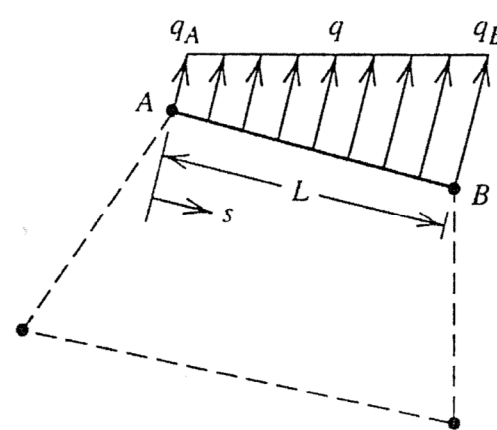
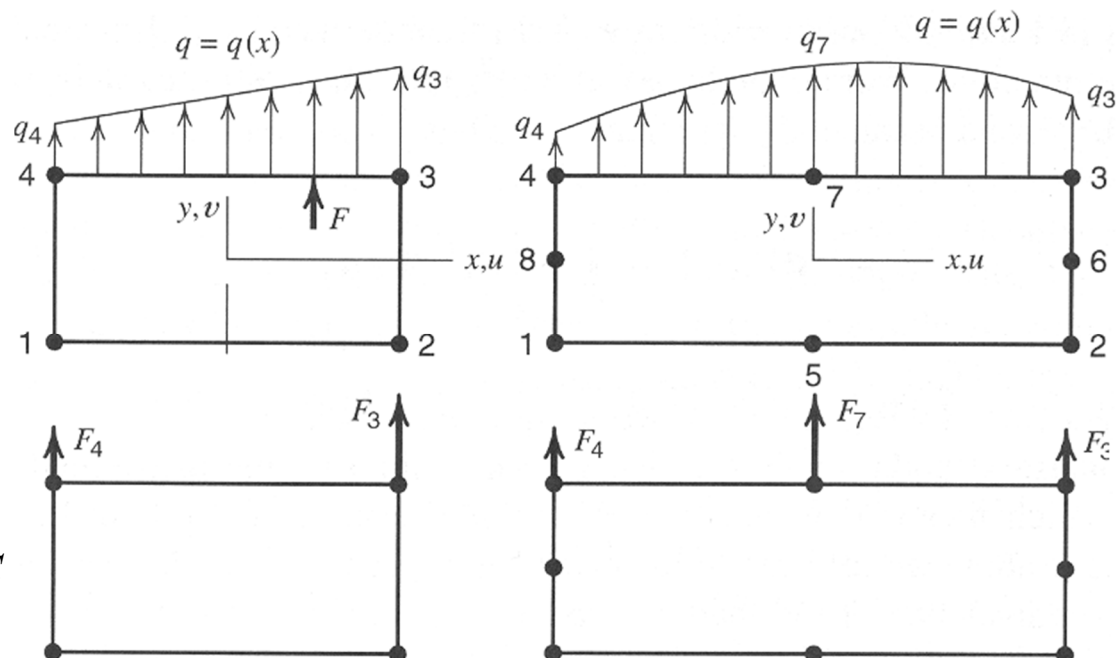
$$\{d\}^T \{r_e\} = \{d\}^T \int_S [N]^T \{\Phi\} dS \therefore \{r_e\} = \int_S [N]^T \{\Phi\} dS$$

$$\{\Phi\} = [N]\{q\} \rightarrow \{r_e\}_{\Phi} = \int_S [N]^T [N] dS \{q\}$$

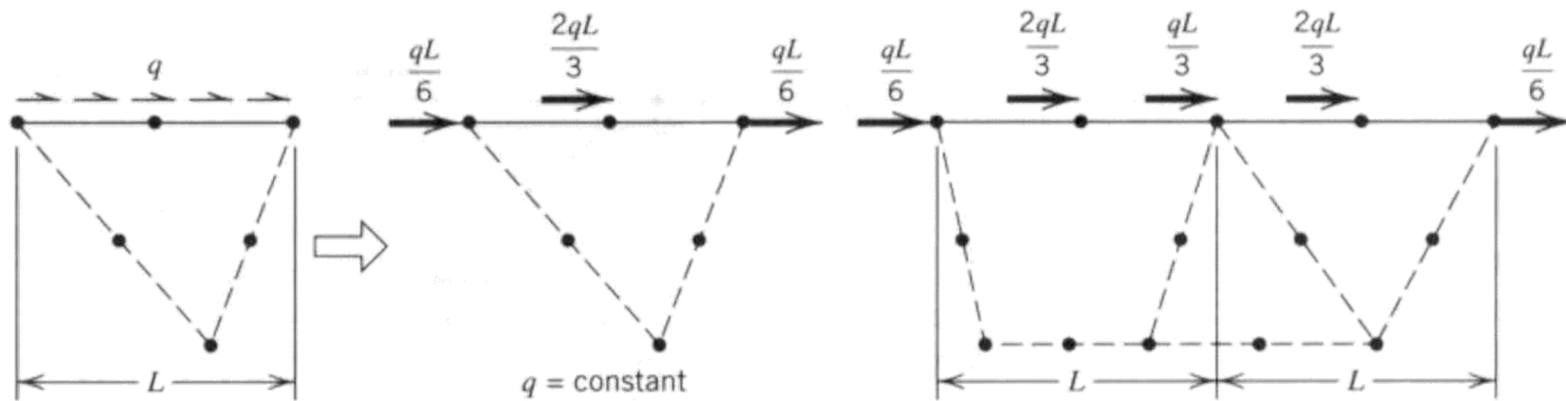
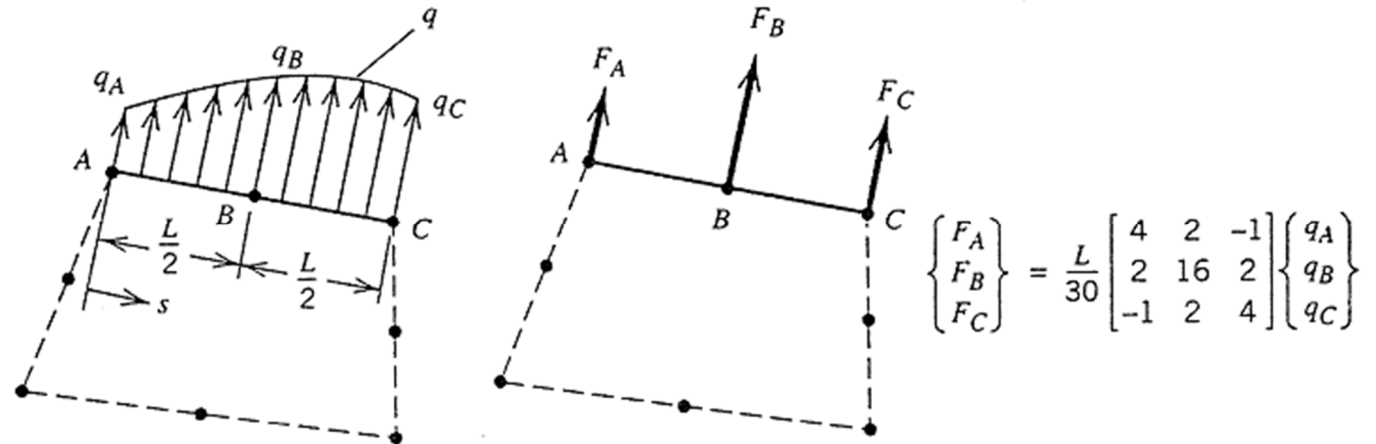
$$\{r_e\}_{\Phi} = \int_L \begin{bmatrix} \frac{L-x}{L} & \frac{x}{L} \end{bmatrix}^T \begin{bmatrix} \frac{L-x}{L} & \frac{x}{L} \end{bmatrix} dL \begin{Bmatrix} q_A \\ q_B \end{Bmatrix}$$

$$\{r_e\}_{\Phi} = \frac{1}{L^2} \int_L \begin{bmatrix} x^2 - 2xL + L^2 & xL - x^2 \\ xL - x^2 & x^2 \end{bmatrix} dL \begin{Bmatrix} q_A \\ q_B \end{Bmatrix}$$

$$\{r_e\}_{\Phi} = \frac{L}{6} \begin{bmatrix} 2 & 1 \\ 1 & 2 \end{bmatrix} \begin{Bmatrix} q_A \\ q_B \end{Bmatrix} \rightarrow q_1 = q_2 = q \rightarrow \{r_e\}_{\Phi} = \begin{Bmatrix} F_A \\ F_B \end{Bmatrix} = \frac{qL}{2} \begin{Bmatrix} 1 \\ 1 \end{Bmatrix}$$



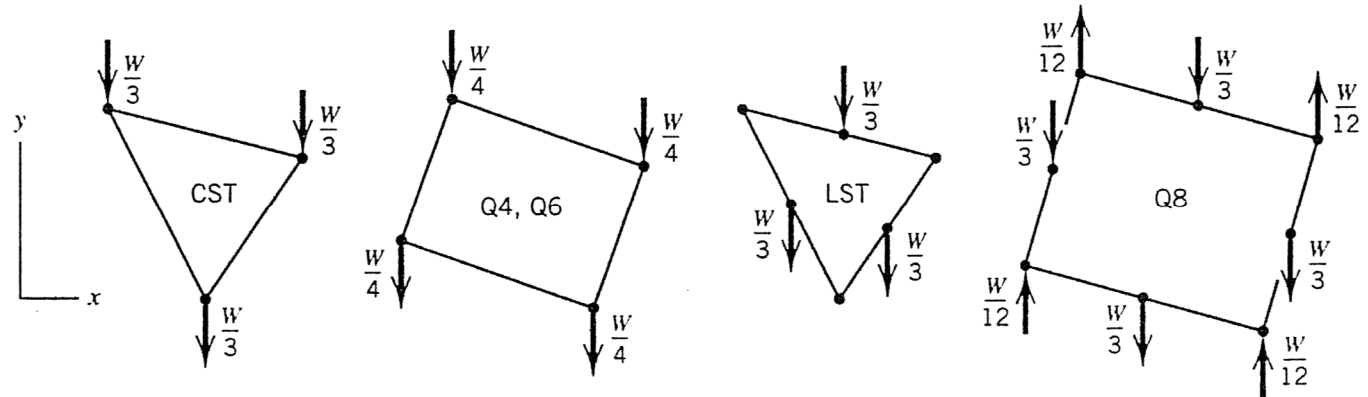
# Aplicación de Cargas



## Cargas de Volumen

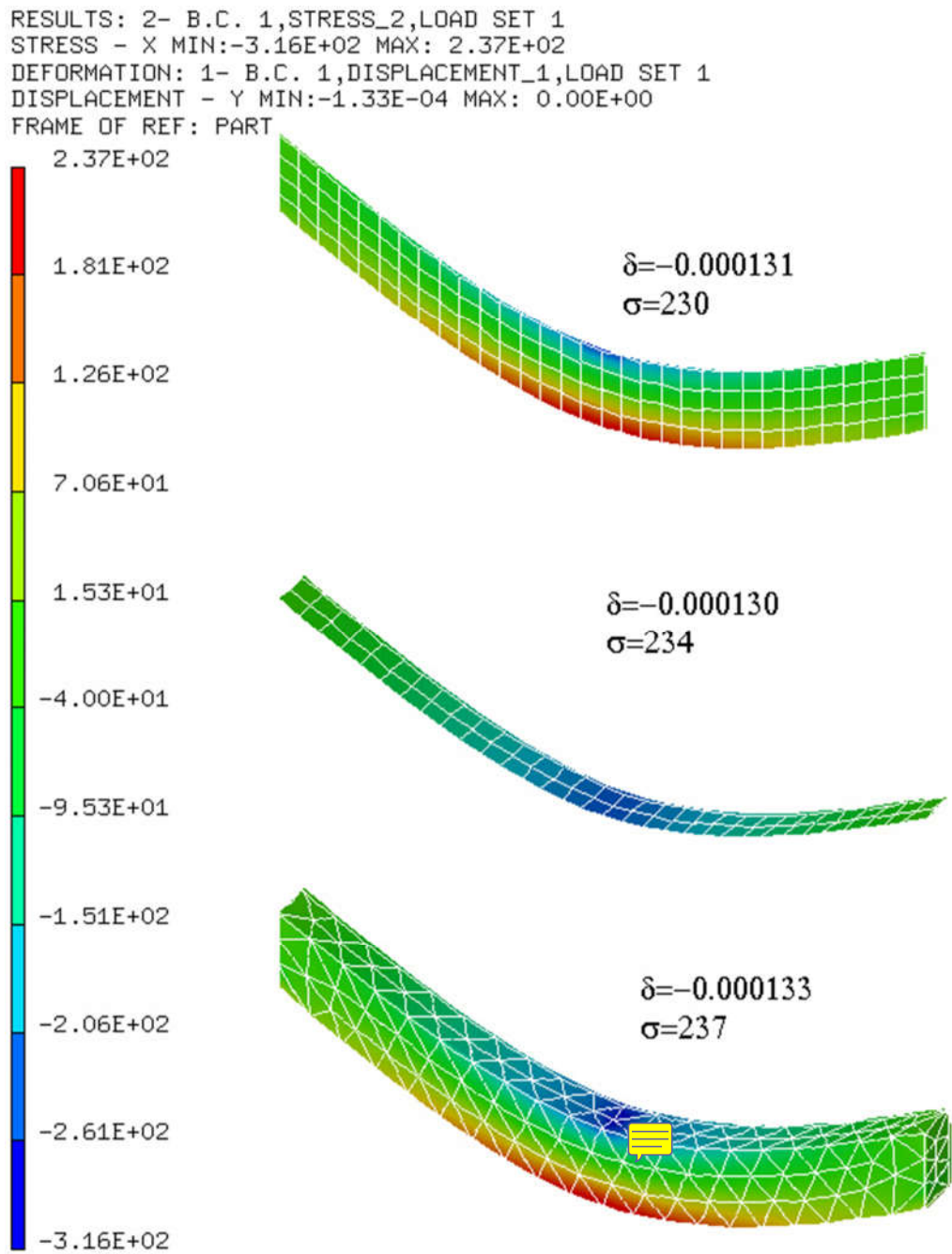
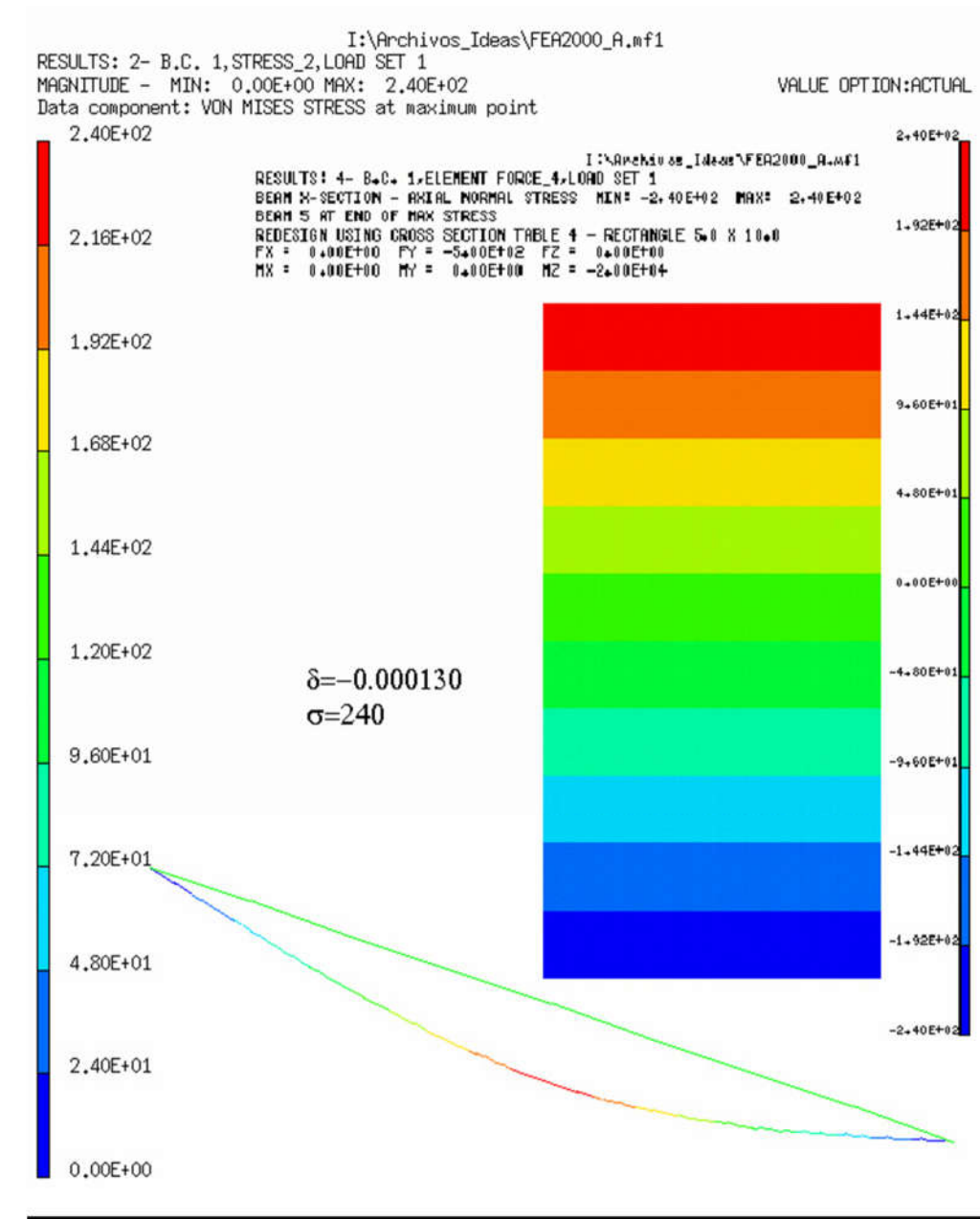
$$\{F\} = [N]\{f\}$$

$$\{r_e\}_F = \left( \int_{\Omega} [N]^T [N] dV \right) \{f\}$$















# Comparación Elementos

Resultados  $\delta=-0.000124\text{mm}$  /  $\sigma= 240\text{mN/mm}^2$

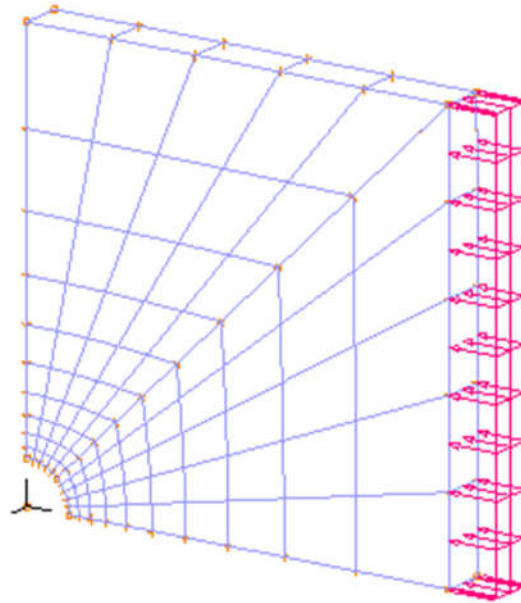


No vale la pena mallar en 3D cuando 1D resuelve mas facil y mejor

# Tipos de Elementos

	Topology linear    parabolic		Modeled Stiffness Trans. Rot.		Required Properties	Best Application
3D solid			3		material	general 3D structures (those that appear solid)
axis symmet- ric solids			2		material	general 3D structures that are symmetric about an axis
2D shell			3	3	material thickness non-structural mass formulation option	thin structures (>10:1 length/thickness) where bending is important
plane stress/ strain			2		material thickness	structures where only in- plane behavior is impor- tant
axis symmet- ric shells			2	1	material thickness	thin structures that are symmetric about an axis
1D rod			3		material non-structural mass cross section	axial deformation and rigid body motion of space frames
1D beam			3	3	material non-structural mass cross section orientation end offset end shortening release warping restraint factor	general space frame components and stiffen- ers for shell structures

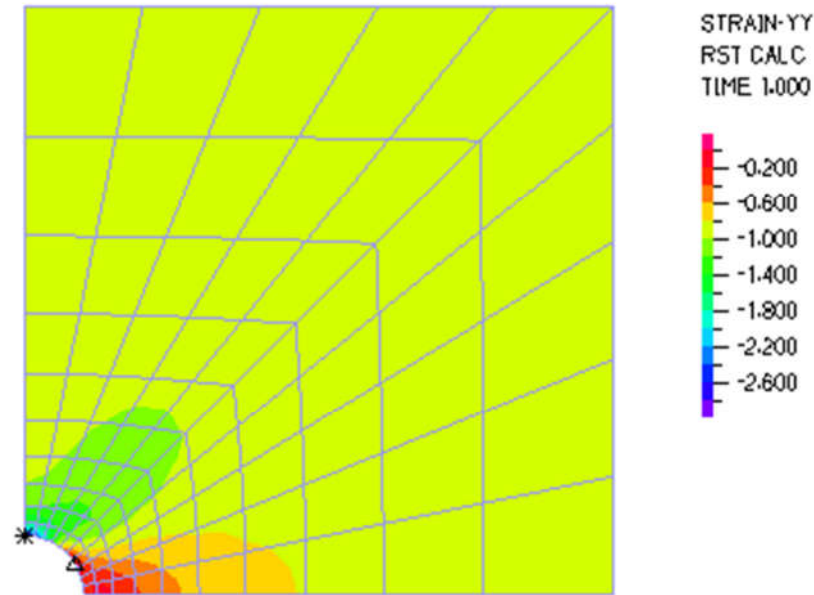
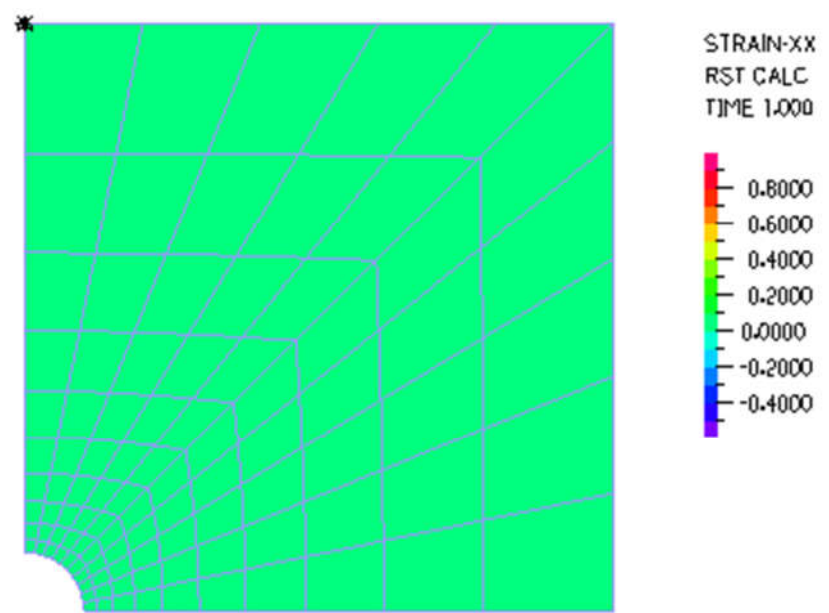
## Comparación de casos 2D



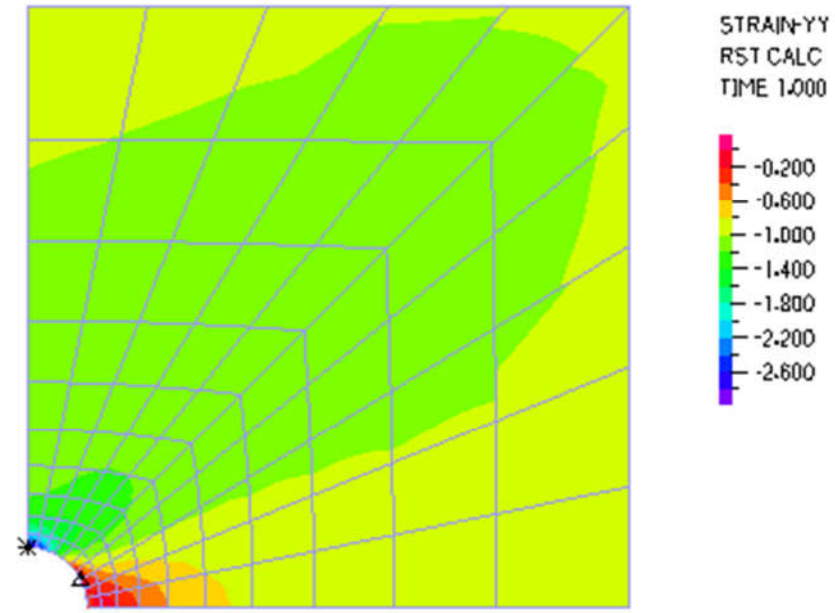
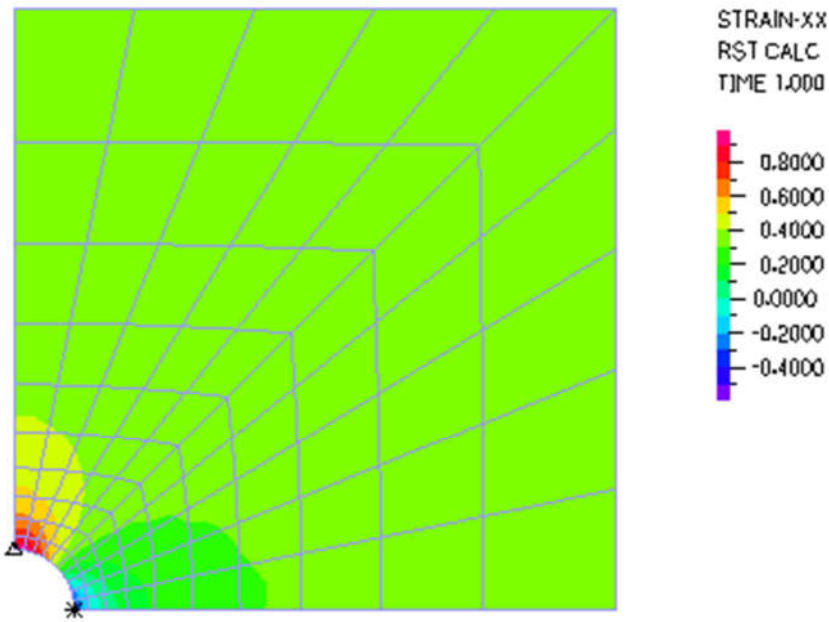


# Comparación de casos 2D

Plain  
Strain

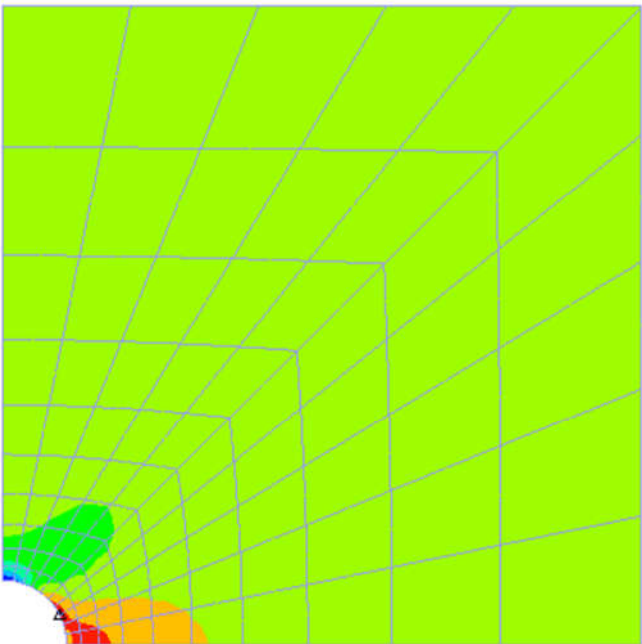
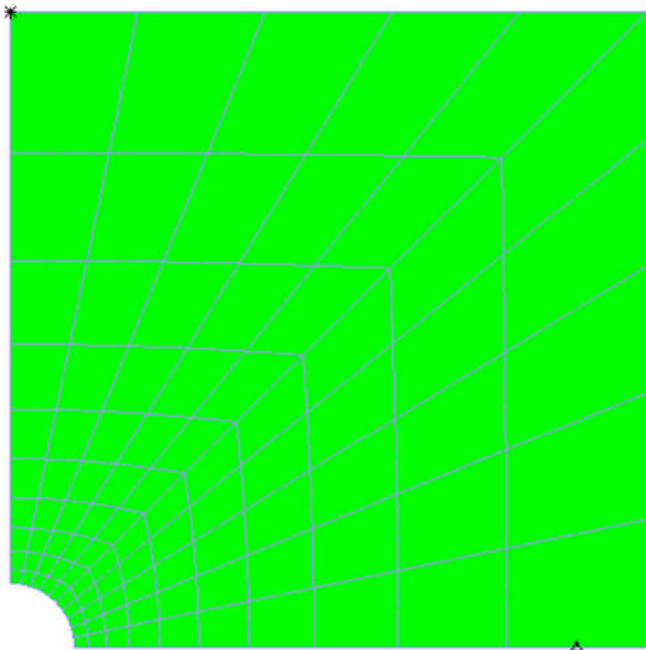


Plain  
Stress



# Comparación de casos 2D

Gran  
espesor



Bajo  
espesor

